

名古屋大学 工学部 学生員 ○梶田建夫
名古屋大学 工学部 正員 川本勝万

1. まえがき

先のオーストロニア年次学術講演会において、著者らは、“脆性材料の一軸圧縮試験における端面拘束の影響について”と題して、円柱状脆性材料の一軸圧縮強度に対する有限要素法の応用について報告した。ここでは、同じ手法で円柱状脆性材料の端面における局部的な荷重に対する強度の問題に適用し、破壊状態および支圧強度を数値実験し検討した。また、ここで用いられた有限要素法による解析では、その精度を高めるために、三節点三角形要素だけではなく、六節点三角形要素とも用いた場合についても計算し、両要素による計算結果の比較をおこなった。

2. 支圧強度の計算

局部荷重をうけるコンクリート等の材料の支圧強度は、全面積と支圧面積との比や、供試体の寸法などの影響をうけることは、種々の文献に記されている。ここでは、つぎのような場合について計算をおこなった。すなわち、円柱の端面は15 cmとし、高さは、それぞれ30 cm, 22.5 cm, 15 cm, 7.5 cm の各供試体で、支圧面の半径が7.5 cm, 5.5 cm, 3.5 cm, 1.5 cm である場合を考え、計16 ケースのうち、主なものについて計算をおこなった。その一部として、図-1, 2, 3 に高さが15 cm で、支圧面の半径が1.5 cm, 3.5 cm, 5.5 cm とした場合の塑性域のひび割れを示す。これは、各支圧面を繰り返し変位増加させた場合のものである。変位増加法による非線形解析については、前報告に記されておりのとおりである。ここでは、降伏条件式としては、つぎのように用いた。すなわち、図-4 に示されたように、引張領域では、Griffith の理論による Mohr の包絡線を用い、圧縮領域では、接着力 $C = 2\sigma_c \epsilon$ (σ_c : 材料の引張強度)、摩擦角 $\phi = 45^\circ$ 以下の Mohr-Coulomb の包絡線を用いた。支圧面の摩擦については、一軸圧縮試験の場合に端面の摩擦抵抗がかなり大きく、これに考慮した場合と、端面を拘束した場合には、ほぼ同じような状態であることを考慮して試験の場合は、エリ拘束さ

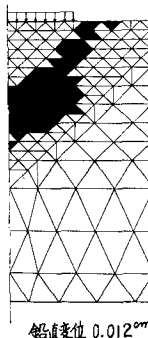
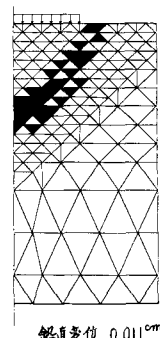
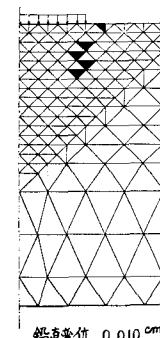
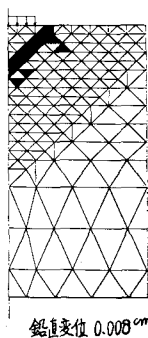
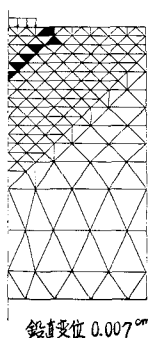
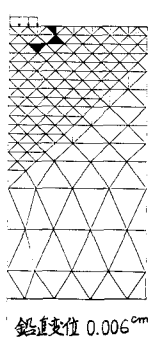


図-1

図-2

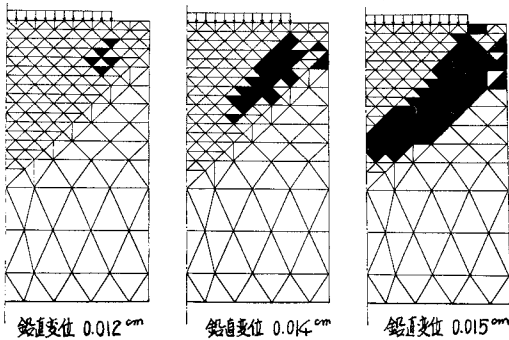


図-3

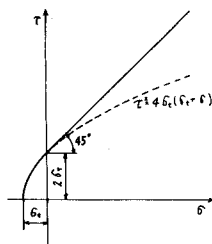


図-4

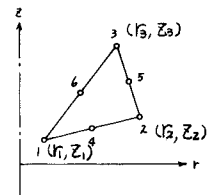


図-5

これに状態であると考えられるより、この計算では、支圧面と水平方向変位が固定されたとした。

3. 六節点三角形要素について

有限要素法による解析において、平面応力問題や、軸対称問題一般に用いられる要素は、要素内で応力・ひずみが一定であるものである。このため、応力集中の問題などでは、要素の形状や、分割によりかなり結果が異なることが予想されてくる。2.でおこなった計算でも、降伏する要素は、要素の分割にかなり影響をうけて、そのほどはばつかと思われる。このように、要素内で応力一定とはさみ、いろいろの不適合の問題が生じるため、要素内で応力が線形に変化するようにして六節点三角形要素を考える。

平面応力問題での六節点三角形要素を用いた解析は、文献(2)(3)によられ、精度のよい結果が得られており、軸対称問題でのこの要素の剛性行列はつぎのように示される。

$$[K] = 2\pi [B]^T [D] [B]$$

ここで、

$$[B] = \begin{bmatrix} U & 0 \\ 0 & V \\ W & 0 \\ V & U \end{bmatrix}$$

$$U = \frac{1}{2A} \begin{bmatrix} 3b_1 & -b_2 & -b_3 & 4b_2 & 0 & 4b_3 \\ -b_1 & 3b_2 & -b_3 & 4b_1 & 4b_3 & 0 \\ -b_1 & -b_2 & 3b_3 & 0 & 4b_2 & 4b_1 \end{bmatrix}$$

V は U のうちの b_1 を
 a にかえたもの。

$$W = \begin{bmatrix} \frac{1}{r_1} & 0 & 0 & 0 & 0 & 0 \\ 0 & \frac{1}{r_2} & 0 & 0 & 0 & 0 \\ 0 & 0 & \frac{1}{r_3} & 0 & 0 & 0 \end{bmatrix}$$

$$\begin{aligned} a_1 &= r_3 - r_2, & b_1 &= z_2 - z_3 \\ a_2 &= r_1 - r_3, & b_2 &= z_3 - z_1 \\ a_3 &= r_2 - r_1, & b_3 &= z_1 - z_2 \end{aligned}$$

$$[D] = \frac{E(1-\nu)}{(1+\nu)(1-2\nu)} \begin{bmatrix} Q & & & & & \\ \frac{\nu}{1-\nu}Q & Q & & & & \text{symmetric} \\ \frac{1-\nu}{1-\nu}Q & \frac{1-\nu}{1-\nu}Q & Q & & & \\ 0 & 0 & 0 & \frac{1-2\nu}{2(1-\nu)}Q & & \end{bmatrix}$$

$$Q = \frac{1}{60} \begin{bmatrix} 6r_1 + 3r_2 + 3r_3 & & & & & \text{symmetric} \\ 3r_1 + 3r_2 + r_3 & 3r_1 + 6r_2 + 3r_3 & & & & \\ 3r_1 + r_2 + 3r_3 & r_1 + 3r_2 + 3r_3 & 3r_1 + 3r_2 + 6r_3 & & & \end{bmatrix}$$

この剛性行列を用いて解析結果、および、この要素を用いて非線形解析について、当日発表の予定である。

参考文献 (1)藤井 学、軽量コンクリートの支圧強度、材料 第18卷、第185号

(2)Fellipa, C.A., Refined Finite Element Analysis of Linear and Nonlinear Two-Dimensional Structure

(3)藤野 雄、有限要素法による連続体解析、三菱重工技報 Vol.2, 1969